論文 上側引張を受ける杭基礎フーチングにおける杭および橋脚の軸方向 鉄筋の定着長がせん断耐力に及ぼす影響

角野 拓真*1·轟 俊太朗*2·田所 敏弥*3

要旨:上側引張を受ける杭基礎フーチングを模擬した2次元 FEM モデルを用いて、杭あるいは橋脚の軸方向 鉄筋の定着長が破壊性状や耐力に及ぼす影響の把握を目的に、それらをパラメータとした解析を行った。必 要定着長が十分に確保され、かつフーチングの上下側軸方向鉄筋まで定着している場合はせん断破壊となり、 必要定着長が比較的短い場合は、杭あるいは橋脚がコーン状に抜け出す破壊となる。いずれの破壊もフック 先端から進展する斜めひび割れを跨ぐ補強鉄筋が降伏することで最大荷重に至ることから、上側引張を受け る杭基礎フーチングの耐力は、杭あるいは橋脚の軸方向鉄筋の定着長に依存することがわかった。

キーワード:間接支持, 杭基礎フーチング, 定着長, せん断耐力, FEM

1. はじめに

杭基礎フーチングの設計においては, 一般に地震時の せん断力に対する照査によって部材諸元が決定される。 現行の設計法では、地震時に下側引張となるスパンに対 しては直接支持部材として設計せん断圧縮破壊耐力によ り照査を行い、上側引張となるスパンに対しては間接支 持部材としてせん断耐力の照査を行う1)(図-1)。

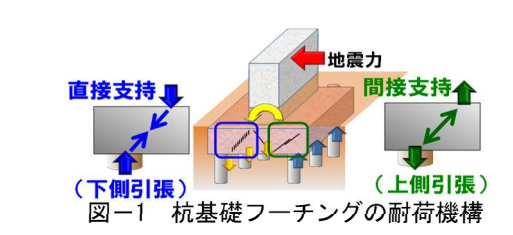
上側引張を受ける場合のせん断耐力について、筆者ら は、せん断補強鉄筋が配置される場合、杭あるいは橋脚 の軸方向鉄筋先端からフーチングの軸方向鉄筋がなす斜 めひび割れ面を跨ぐように配置されたせん断スパン内の せん断補強鉄筋が受け持つせん断力(以降, V_s)により, せん断耐力を評価する方法を提案してきた 2)。しかし、 杭あるいは橋脚の軸方向鉄筋の定着長に着目した検討事 例は少なく, せん断耐力に及ぼす影響は不明確である。

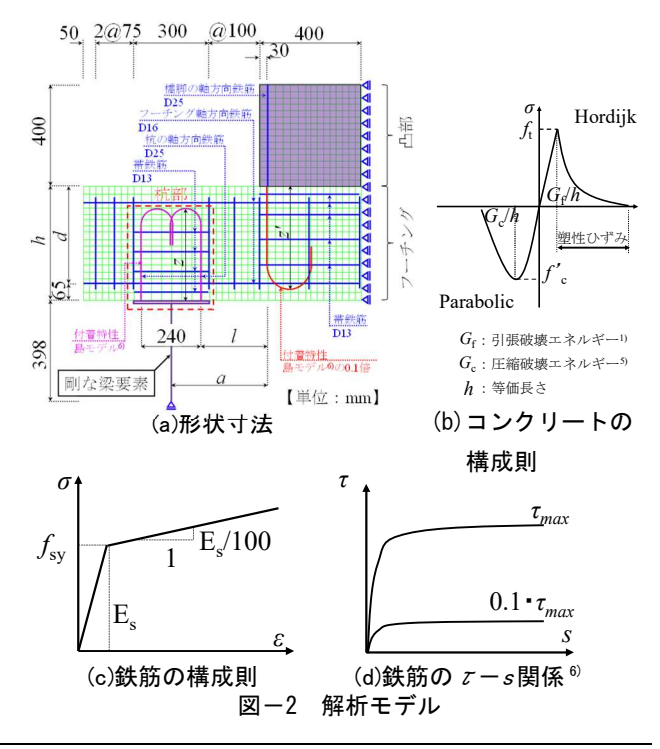
そこで, 杭基礎フーチングを模擬した有限要素解析(以 降、FEM) により、筆者らが過年度に実施した杭基礎フ ーチングの単位幅を想定した鉄筋コンクリート(以 降.RC) 梁を用いた載荷実験 2)との比較を行い解析モデル の検証を行うとともに、杭および橋脚の軸方向鉄筋の定 着長をパラメータとした FEM 解析により、それらの定 着長が上側引張を受ける杭基礎フーチングの破壊性状や 耐力に及ぼす影響について検討を行った。

2. 解析概要

本研究では、汎用有限要素解析プログラム DIANA (Ver. 10.2) を用いて 2 次元 FEM 解析を行った。本研究に用い る解析モデルは、筆者らが過年度に実施した載荷実験²⁾ に用いた試験体の形状を基本として、その試験体の 1/2 を対象とした2次元モデルとした。図-2に解析モデル,

表-1 に解析対象とした試験体の諸元、図-3 に No.1 試 験体の形状,図-4にNo.1試験体の載荷状況を示す。解 析モデルは、要素寸法を概ね25mmとし、モデル内に橋 脚, 杭およびフーチングの軸方向鉄筋, 鉄筋の曲げ加工 部であるフックならびにせん断補強鉄筋を埋込み鉄筋要 素としてモデル化した。また、杭の軸方向鉄筋の下部に





- *1 公益財団法人鉄道総合技術研究所 構造物技術研究部コンクリート構造研究室 研究員 (正会員)
- *2 公益財団法人鉄道総合技術研究所 構造物技術研究部コンクリート構造研究室 副主任研究員 工修 (正会員)
- *3 公益財団法人鉄道総合技術研究所 構造物技術研究部コンクリート構造研究室 室長 博士(工学)

表 — 1	解析対象レー	た試験体の諸元

= 5550 / 1	,					CI	C	_		V			
試験体 No.	(mm)	h (mm)	z (mm)	z' (mm)	l/h	(N/mm^2)	$J_{\rm t}$ $({ m N/mm}^2)$	(kN/mm^2)	呼び名	$f_{\rm sy}$ $({ m N/mm}^2)$	E_s (kN/mm^2)	р _w (%)	V _{exp} (kN)
1	260	450	377	420	0.6	26.6	2.77	28.2	D10	390	174	0.48	260
2	460	450	377	420	1.0	23.7	2.40	27.4	D10	390	175	0.48	232
3	660	450	377	420	1.5	24.5	2.27	27.5	D10	390	175	0.48	249

ここに、l: 橋脚の軸方向鉄筋から杭の軸方向鉄筋までの距離、h: 部材高さ、z: 杭の軸方向鉄筋の定着長、z²: 橋脚の軸方向鉄筋の定着長、 f_c : コンクリートの圧縮強度、 f_c : コンクリートの引張強度、 f_c : コンクリートの弾性係数、 f_s 2: せん断補強鉄筋の降伏強度、 f_s 3: せん断補強鉄筋の弾性係数、 f_s 4: せん断スパン内のせん断補強鉄筋比、 f_s 5: 実験により得られた最大せん断力

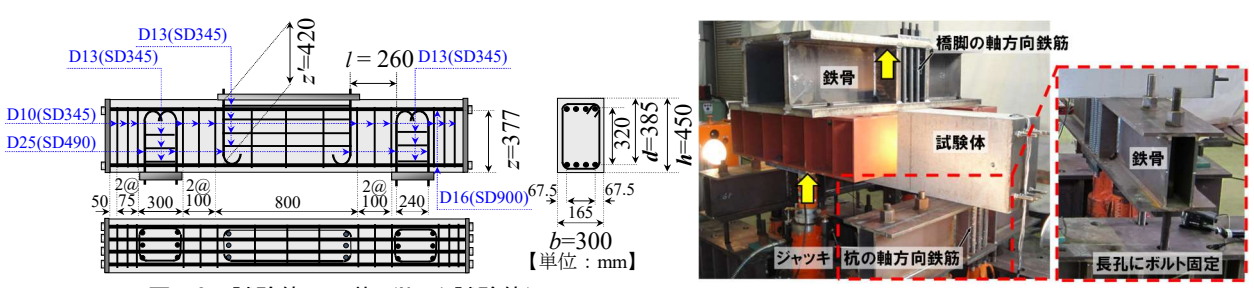
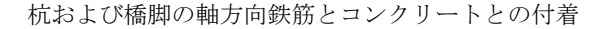


図-3 試験体の形状 (No.1 試験体)

図-4 載荷状況(No.1 試験体)

は剛な梁要素を水平方向に設け、フーチングとの間に接 線および法線方向に剛なインターフェースを挿入した。 さらに, その下方には剛な梁要素を鉛直方向に設け, そ の下端を鉛直方向に拘束することで杭支点部の回転を許 容し, 載荷試験時の支点条件を再現した。試験体への載 荷は, 杭の軸方向鉄筋を固定し, 橋脚の軸方向鉄筋を接 続した鉄骨に鉛直力を作用させることにより行った。そ こで、解析では橋脚の軸方向鉄筋の上端部に鉛直上向き の強制変位として与えた。コンクリートの圧縮特性は Parabolic を用いて、要素の拘束状態に応じた圧縮強度 3) とひび割れ発生後の圧縮強度の低減 4)を表現するモデル を用いた。なお、等価長さ h は、要素面積の 2 倍の平方 根を用いた。ひび割れモデルは、全ひずみ固定ひび割れ モデルを用いた。解析対象とした実験結果を再現できる ように, せん断伝達剛性は, 要素が引張強度に達した場 合に,初期せん断伝達剛性の1×10-4倍となるよう設定し た。材料の特性値は、表-1、表-2 および表-3 に示す値を 用いた。ただし、引張破壊エネルギー G_f は、鉄道構造物 等設計標準・同解説 (コンクリート構造物) 1)を参考に算 定し、圧縮破壊エネルギーGcは、Nakamura ら 5の提案す る式を参考に算定した。試験体の断面寸法は,幅 300mm, 高さ 450mm, 有効高さ 385mm であるが, No.2 および No.3 試験体は曲げ破壊しないようさらに等曲げ区間断 面を 400mm 増厚している。その増厚部の範囲の軸方向 鉄筋は、節がなくなるまで VM テープを巻き、コンクリ ートと鉄筋の付着を取り除いている。そのため, フーチ ングのコンクリートは材料非線形性を考慮するが, 等曲 げ区間の増厚部を再現した凸部は弾性体とし, その部分 の鉄筋の付着は考慮しないこととした。フーチングの軸



方向鉄筋とせん断補強鉄筋は, 完全付着とした。

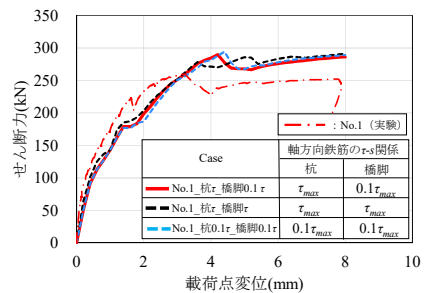


図-5 せん断力-載荷点変位関係 (No.1 試験体)

特性は島モデル %を用いて、付着特性を変動させた解析 を行い、それぞれの付着特性を設定することとした。図 -5 に、No.1 試験体の杭あるいは橋脚の軸方向鉄筋の ← s 関係を変動させ得られたせん断力-載荷点変位関係を 示す。剛性および最大荷重に大きな変動は見られず、杭 あるいは橋脚の軸方向鉄筋の付着特性が解析結果に与え る影響は小さいと考えられる。載荷実験では、載荷初期 において橋脚の軸方向鉄筋に沿うひび割れが発生し, か つ断面方向に貫通していたのに対して, 杭の軸方向鉄筋 に沿うひび割れの発生は確認できなかった。このことか ら,実験時の杭の軸方向鉄筋とコンクリートの付着力と 比較して、橋脚の軸方向鉄筋とコンクリートの付着力は 大きく低下していると考えられる。そのため、本研究で は杭の軸方向鉄筋の付着特性に島モデル のを用い、それ に対して十分に小さい値として橋脚の軸方向鉄筋の付着 特性に島モデル %を 0.1 倍したものを用いることとした。 いずれの試験体も, 杭および橋脚の軸方向鉄筋には D25 (SD490) を用い、杭の軸方向鉄筋のフック先端まで の定着長は377mm, 橋脚の軸方向鉄筋の定着長は420mm である。せん断スパン内のせん断補強鉄筋は, D10 (SD345)を100mm間隔で配置し、せん断補強鉄筋比は 0.48%である。なお、曲げ破壊防止のため、フーチングの

軸方向鉄筋には熱処理し高強度化した降伏強度 1000N/mm²相当の鉄筋を用いている。粗骨材の最大寸法 は13mmである。なお、杭の軸方向鉄筋を模擬した支点 部は、軸方向鉄筋を接続した鉄骨を長孔によりボルト止 めし,回転を許容する構造としている。

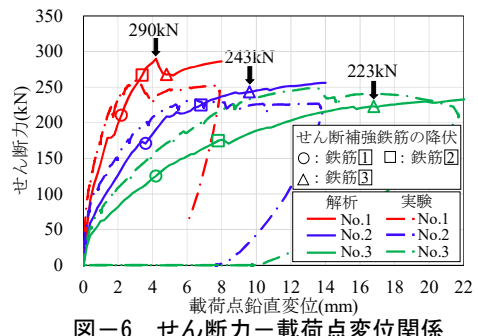
3.実験結果との比較

図-6 に解析対象とした試験体のせん断力-載荷点鉛 直変位関係を示す。図中には併せてせん断補強哲筋が降 伏した点を示す。凡例の鉄筋番号は、図-7および図-8 に示すものである。No.1 試験体に着目すると、最大荷重 後の一時的な荷重低下およびそれ以降にせん断補強鉄筋 が荷重を負担することによるせん断力の向上を概ね再現 していることが分かる。また, No.3 試験体に着目すると, 実験と比べて剛性が小さいが, 最大荷重は実験と概ね同 等となることが分かる。

図-7に No.1, 図-8に No.3 試験体の最大荷重時のひ び割れひずみと実験時のひび割れ状況を示す。ひび割れ ひずみとは, 要素が引張強度に達した後に増加する塑性 ひずみ($\mathbf{Z} - \mathbf{Z}(\mathbf{b})$)であり、ここでは、その発生方向に 対して法線方向に表示したものを示す。

No.1 試験体実験時は, 図-7(b) に示すように載荷初期 に橋脚の軸方向鉄筋付近に曲げひび割れが発生し(図ー 7(b)(1)), その後橋脚の軸方向鉄筋のフック先端に向か い斜めひび割れが進展する (図-7(b)(2))。 最終的には 橋脚の軸方向鉄筋のフック先端から 45 度にひび割れが 進展し最大荷重に至る (図-7(b)(3))。図-7(a)に着目 すると、橋脚の軸方向鉄筋のフック先端から 45 度に進 展するひび割れひずみが卓越し、それを跨ぐせん断補強 鉄筋が降伏し、最大荷重に至ることを確認した。

No.2 および No.3 試験体実験時は、載荷初期に橋脚軸 方向鉄筋付近に曲げひび割れが生じ(図-8(b)(1)),徐々 に杭側方向に向かい複数の曲げひび割れが発生する(図 -8(b)(2))。それらの曲げひび割れは橋脚の軸方向鉄筋 のフック先端に向かう斜めひび割れに進展し、最終的に は橋脚の軸方向鉄筋のフック先端から 45 度に発生する 斜めひび割れがフーチングの引張鉄筋に沿うひび割れに 進展し最大荷重に至る (図-8(b)(3))。図-8(a)に着目 すると、橋脚の軸方向鉄筋のフック先端から 45 度方向 に進展するひび割れひずみが卓越し、そのひび割れひず みを跨ぐせん断補強鉄筋が降伏するとともに、フーチン グの引張鉄筋に沿ってひび割れひずみが進展することで 最大荷重に至ることを確認した。なお, No.2 および No.3 試験体は、最大荷重後の明確な荷重低下が確認できなか ったため、図-7 および図-8 中の鉄筋番号 1,2 および 3 のひび割れひずみを跨ぐせん断補強鉄筋が降伏した点を 最大荷重とした。また、図-8(a)に示すように橋脚の軸



せん断カー載荷点変位関係

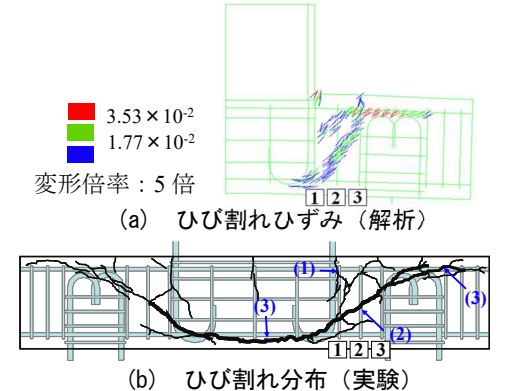


図-7 ひび割れひずみとひび割れの分布 (No. 1)

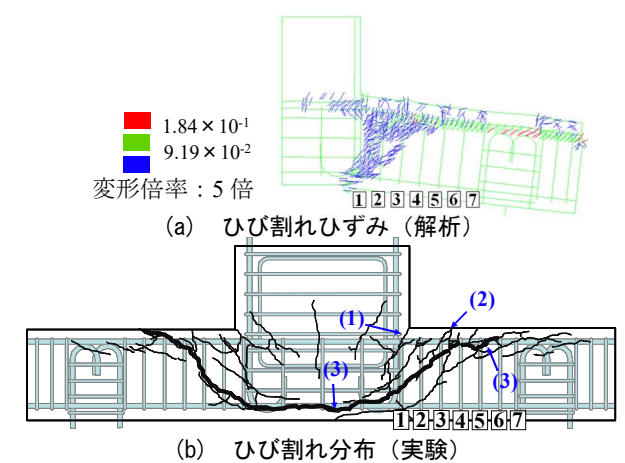


図-8 ひび割れひずみとひび割れの分布(No.3)

方向鉄筋のフック先端付近のひび割れひずみは, 下側の コンクリート縁端部にまで達しており、その 45 度に進 展するひび割れひずみ面が破壊に対して支配的な要因と なっていると考えられる。

これらのことから、本研究で用いた解析モデルは変形 の定量的な評価は困難であるが、最大荷重の相対的な評 価および破壊性状は十分な精度で確認することが可能で あると考えられる。

4. 上側引張を受ける杭基礎フーチングの破壊性状およ び耐荷機構

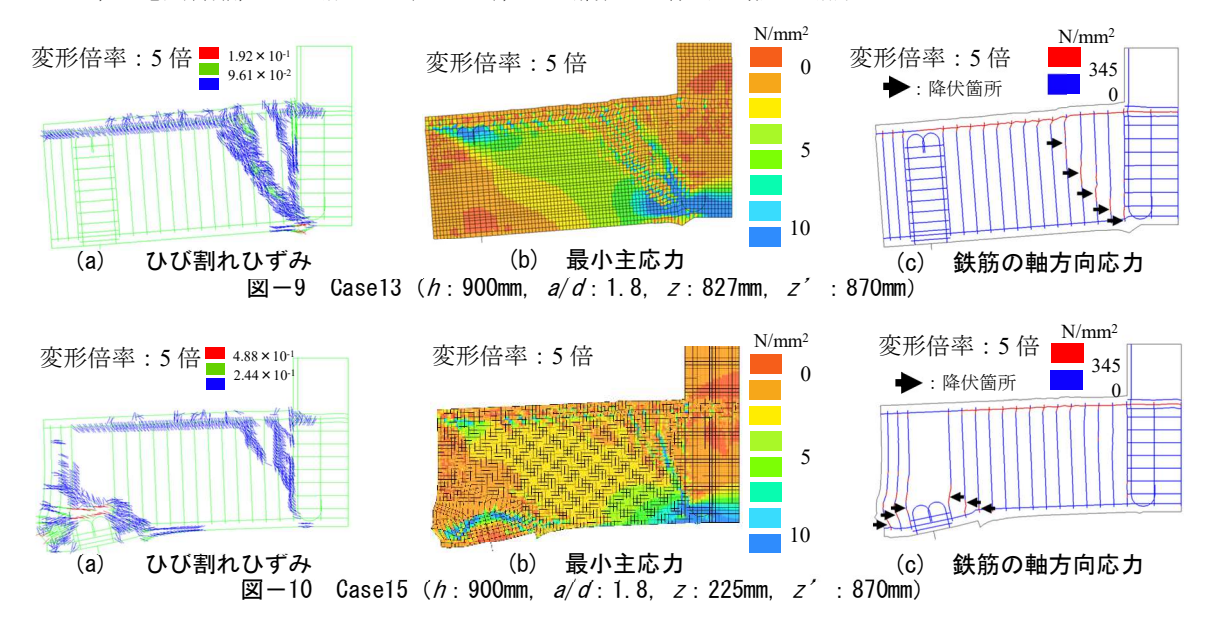
(1) 杭の軸方向鉄筋の定着長を変動させた場合

表-2 に解析ケースを示す。Case1 から Case6 の断面諸 元は載荷実験の試験体と同じとし、Case7からCase15は、

表 — 2	解析ケース一覧	(杭の軸方向鉄筋の定着長を変動させた場合)
1X		

				_					1						
Case	(mm)	h (mm)	d (mm)	b (mm)	a (mm)	z (mm)	z' (mm)	a/d	a /z	(N/mm ²)	呼び名	f_{sy}	E _s	p w(%)	V _{max} (kN)
										` ′		(N/mm ²)	(kN/mm ²)		
Casel	260	450	385	300	380	377	420	1.0	1.0	24	D10	345	200	0.48	283
Case2	260	450	385	300	380	225	420	1.0	1.7	24	D10	345	200	0.48	237
Case3	460	450	385	300	580	377	420	1.5	1.5	24	D10	345	200	0.48	258
Case4	460	450	385	300	580	225	420	1.5	2.6	24	D10	345	200	0.48	246
Case5	660	450	385	300	780	377	420	2.0	2.1	24	D10	345	200	0.48	234
Case6	660	450	385	300	780	225	420	2.0	3.5	24	D10	345	200	0.48	230
Case7	560	900	835	300	680	827	870	0.8	0.8	24	D10	345	200	0.48	544
Case8	560	900	835	300	680	377	870	0.8	1.8	24	D10	345	200	0.48	350
Case9	560	900	835	300	680	225	870	0.8	3.0	24	D10	345	200	0.48	308
Case10	960	900	835	300	1080	827	870	1.3	1.3	24	D10	345	200	0.48	525
Casel 1	960	900	835	300	1080	377	870	1.3	2.9	24	D10	345	200	0.48	345
Case12	960	900	835	300	1080	225	870	1.3	4.8	24	D10	345	200	0.48	301
Case13	1360	900	835	300	1480	827	870	1.8	1.8	24	D10	345	200	0.48	404
Case14	1360	900	835	300	1480	377	870	1.8	3.9	24	D10	345	200	0.48	345
Case15	1360	900	835	300	1480	225	870	1.8	6.6	24	D10	345	200	0.48	304

ここに、b: 想定部材幅、a: せん断スパン (=l+120 mm)、 V_{max} : 解析により得られた最大せん断力



その断面形状を基本として h を 900mm に拡張し、載荷実験と同程度の l/h となるよう l を設定した。橋脚の軸方向鉄筋を圧縮鉄筋付近まで十分に定着させ、杭の軸方向鉄筋の定着長 z をパラメータとして解析を行った。なお、本研究においては、定着長が短くなることによる破壊性状の違いを確認するため、z=827mm のケースを除き、杭の軸方向鉄筋が必要とする定着長 l に満たない極端に短い定着長の場合を想定した。なお、必要とする定着長は、フックの先端も含め 575mm である。また、コンクリートの圧縮強度 f は 24N/mm²,最大粗骨材寸法は l3mm を用いた。図l Case13,図l に Case15 の最大荷重時のひび割れひずみ、最小主応力および鉄筋の軸方向応力のコンター図を示す。

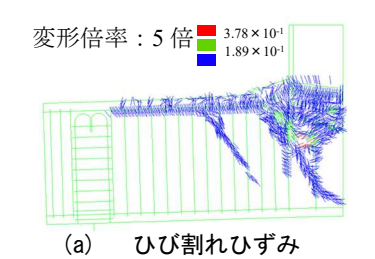
Case13 は、曲げひび割れと考えられるひび割れひずみが橋脚の軸方向鉄筋付近に初期段階で発生し、徐々に杭側方向に向かい複数のひび割れひずみが発生した。この曲げひび割れと考えられるひび割れひずみは、橋脚の軸方向鉄筋のフック先端に向かい進展し、最終的には橋脚の軸方向鉄筋のフック先端から 45 度にひび割れひずみが著しく進展し、その後引張鉄筋に沿うひび割れひずみ

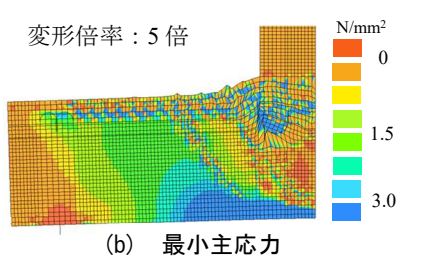
となり最大荷重に至った。図-9(b)に着目すると、圧縮ストラットは、橋脚軸方向鉄筋のフックのせん断スパン側から杭の軸方向鉄筋の中心に向けて形成されているものの、応力は広範囲に分散しており、最も圧縮力が卓越する圧縮域においても圧縮強度以下であった。図-9(c)に着目すると、橋脚の軸方向鉄筋のフック先端から45度に進展するひび割れひずみを跨ぐせん断補強鉄筋が降伏していることが分かる。これらのことから、実験結果と同様に橋脚の軸方向鉄筋のフック先端から45度に発生するひび割れひずみが進展し、それを跨ぐせん断補強鉄筋が降伏することによりせん断破壊に至ることが分かる。

Case15 は、Case13 と同様に引張鉄筋から橋脚の軸方向 鉄筋に向かって斜めひび割れが進展するものの、最終的 に杭の軸方向鉄筋のフック先端からハの字に斜めひび割 れが生じ、コーン状に破壊する。図-10 (c) に着目すると、 せん断スパン内のせん断補強鉄筋だけでなく、杭よりも 外側に配置された補強鉄筋も降伏していることが分かる。 これらのことから、杭の定着長が短くなる場合(Case2、 4、6、8、9、11、12 および 14 も同様)、杭の軸方向鉄筋 に生じる引張力により、杭本体が抜け出して破壊に至る。

表 — 3	解析ケース-	-	(橋脚の軸方向鉄筋の定着長を変動させた場合)
1X U		₩.	(個型の)知り 四級別の人に用 及で 冬到 C に に物 ロ /

										CI					
Case	(mm)	h (mm)	d (mm)	(mm)	(mm)	z (mm)	z' (mm)	a/d	a/z'	(N/mm ²)	呼び名	f_{sy} (N/mm^2)	E_s (kN/mm^2)	p w(%)	V _{max} (kN)
Case16	260	450	385	300	380	377	225	1.0	1.7	24	D10	345	200	0.48	195
Case17	460	450	385	300	580	377	225	1.5	2.6	24	D10	345	200	0.48	183
Case18	660	450	385	300	780	377	225	2.0	3.5	24	D10	345	200	0.48	170
Case19	560	900	835	300	680	827	377	0.8	1.8	24	D10	345	200	0.48	276
Case20	560	900	835	300	680	827	225	0.8	3.0	24	D10	345	200	0.48	187
Case21	960	900	835	300	1080	827	377	1.3	2.9	24	D10	345	200	0.48	258
Case22	960	900	835	300	1080	827	225	1.3	4.8	24	D10	345	200	0.48	164
Case23	1360	900	835	300	1480	827	377	1.8	3.9	24	D10	345	200	0.48	233
Case24	1360	900	835	300	1480	827	225	1.8	6.6	24	D10	345	200	0.48	176





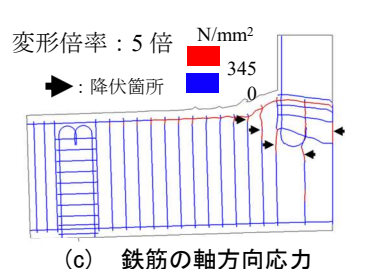


図-11 Case23 (h: 900mm, a/d: 1.8, z: 827mm, z': 377mm)

(2) 橋脚の軸方向鉄筋の定着長を変動させた場合

表-3 に解析ケースを示す。Case16 から Case18 の断面 諸元は、載荷実験の試験体と同じとし、Case19 から Case24 は、その断面形状を 4. (1) 節と同様に設定した。 杭の軸方向鉄筋を引張鉄筋付近まで十分に定着させ、橋脚の軸方向鉄筋の定着長 z'をパラメータとして解析を行った。なお、4. (1) 節と同様に、橋脚の軸方向鉄筋が必要とする定着長 ¹⁾に満たない極端に短い定着長の場合を 想定した。必要とする定着長も 4. (1) 節と同じである。 図-11 に定着長の短い Case23 の最大荷重時のひび割れ ひずみ、最小主応力および鉄筋の軸方向応力のコンター 図を示す。

Case23 は、曲げひび割れと考えられるひび割れひずみが橋脚の軸方向鉄筋付近に初期段階で発生し、徐々に杭側方向に向かい複数のひび割れひずみが発生した。次に、徐々に杭側方向に向かい発生したひび割れひずみが橋脚の軸方向鉄筋のフック先端方向あるいは、橋脚の軸方向鉄筋直下の圧縮鉄筋付近に向けて斜め方向に進展した。最終的には橋脚の軸方向鉄筋のフック先端からハの字に発生するひび割れひずみが著しく進展し最大荷重に至った。このように、橋脚の軸方向鉄筋の定着長を短くした場合においても、杭の軸方向鉄筋の定着長を短くした場合においても、杭の軸方向鉄筋の定着長を短くした場合におり、フック先端からハの字に斜めひび割れが生じ、橋脚本体が抜け出して破壊に至ることがわかる。

5. 杭あるいは橋脚の軸方向鉄筋の定着長がせん断耐力に及ぼす影響

図-12 および図-13 に 4. 章により得られた V_{max} と杭 あるいは橋脚の軸方向鉄筋の定着長との関係をそれぞれ 示す。なお,図中には h を 900 mの場合の結果を示した。

V_{max}はいずれの場合も定着長が長くなることで大きくなり、線形に増加する傾向にあることが分かる。

本研究における解析では、せん断破壊と杭あるいは橋脚本体が抜け出す破壊が確認されたが、ここでは筆者らが既往の研究 2 から提案している式(1)により求まるせん断スパン内に配置されたせん断補強鉄筋が受け持つせん断耐力 V_{s} と V_{max} の比較を行うこととした。

$$V_{s} = p_{w} \cdot f_{wy} \cdot z \cdot \cot \theta \cdot b \tag{1}$$

ここに、 p_w : せん断補強鉄筋比、 f_{wy} : せん断補強鉄筋の降伏強度、z: 杭あるいは橋脚の軸方向鉄筋の定着長、 θ : 斜めひび割れ角度(=45度)、b: 部材幅

図-14 に、h を 900mm の場合の杭の軸方向鉄筋の定着長をパラメータとした解析により得られた V_{max} と a/z の関係を示す。図-15 に、h を 900mm の場合の橋脚の軸方向鉄筋の定着長をパラメータとした解析により得られた V_{max} と a/z の関係を示す。なお、図中には式(1)により得られる V_s を併記した。杭あるいは橋脚の軸方向鉄筋の定着長が比較的長い場合(z=827 および z'=870mm)、 V_{max}/V_s は $0.94\sim1.32$ となり、 V_{max} と V_s は、概ね同程度であった。一方で、杭あるいは橋脚の軸方向鉄筋の定着長が比較的短い場合(z もしくは z'=225mm、377mm)、 V_{max}/V_s は $1.08\sim2.70$ となり、 V_{max} と V_s の差が大きくなる傾向であった。この差が生じる要因は、せん断スパン外に配置された補強鉄筋が負担する引張力を評価できていないためであると考えられる。

zおよびz'の V_{max}/V_s を比較すると、z'を短くした場合の V_{max}/V_s が $1.08\sim 1.67$ であるのに対し、z を短くした場合の V_{max}/V_s が $1.84\sim 2.70$ であり、z を短くした場合の方が V_s との差が大きい傾向であった。これは、杭側のせん断スパン外の補強鉄筋が橋脚側に比べて密に配置されていることから、せん断スパンの内外に進展するひび割れ

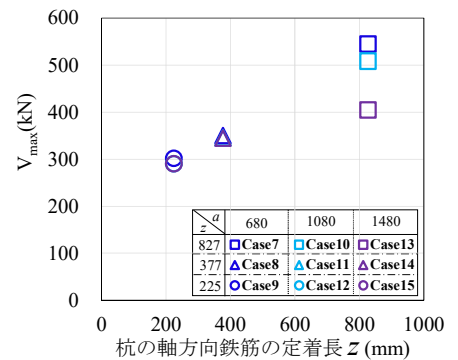
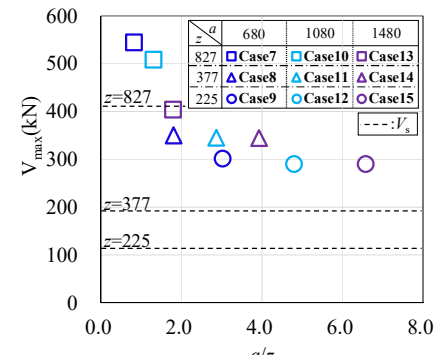


図-12 V_{max}と zの関係 (4.(1)節, h:900mm)



 $V_{a,z} \geq a/z$ の関係 (4. (1) 節, h: 900mm)

ひずみを跨ぐ補強鉄筋の総数が, z'を短くした場合と比 較して増加したことによるものであると考えられる。

これらのことからも、定着長が比較的長い場合はせん 断破壊し、定着長が比較的短い場合に杭あるいは橋脚の 軸方向鉄筋に生じる引張力により抜け出す破壊となると 考えられる。ただし、いずれの破壊であっても杭あるい は橋脚の軸方向鉄筋は生じる引張力により降伏せず、そ れらのフック先端から進展する斜めひび割れを跨ぐ補強 鉄筋が降伏し最大荷重に至るため, 最大荷重は杭あるい は橋脚の軸方向鉄筋の定着長に依存すると考えられる。

6. 結論

本研究では、杭と橋脚の軸方向鉄筋を必要定着長以上 で、かつフーチングの上下側の軸方向鉄筋まで定着した 場合、ならびに必要定着長よりも極端に短くして定着し た場合の解析を行った。以下に、本研究の結論を示す。

- (1) 杭あるいは橋脚の軸方向鉄筋の定着長が短くなる場 合, それらの軸方向鉄筋に生じる引張力により, 杭あ るいは橋脚が抜け出す破壊となることで最大荷重に 至る可能性があることが分かった。
- (2) 杭あるいは橋脚本体が抜出す破壊となる場合は、せ ん断スパン外に配置された補強鉄筋も生じる引張力 を負担する可能性があることが分かった。
- (3) 上側引張を受ける杭基礎フーチングにおいて、いず れの破壊であっても、斜めひび割れを跨ぐ補強鉄筋

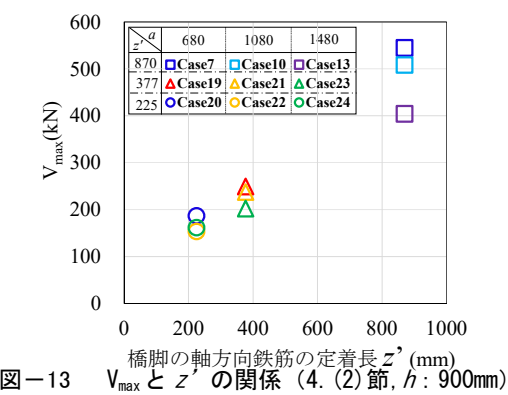


図-13

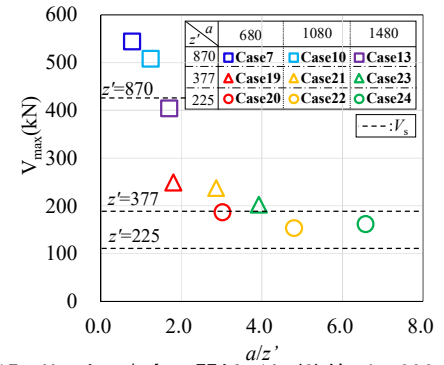


図-15 V_{max}と a/z'の関係(4.(2)節, h:900mm)

が降伏し最大荷重に至るため、最大荷重は杭あるい は橋脚の軸方向鉄筋の定着長に依存すると考えられ る。

参考文献

- 財団法人鉄道総合技術研究所:鉄道構造物等設計標 準・同解説 (コンクリート構造物), 2002.4
- 2) 轟俊太朗, 田所敏弥, 谷村幸裕, 進藤良則:上側引 張を受ける RC 梁のせん断耐力に及ぼすせん断補強 鉄筋の影響、コンクリート工学年次論文集、Vol.33、 No.2, pp.739-744, 2011.7
- 3) SELBY, R.G., AND VECCHIO, F.J.: Three-dimensional Constitutive Relations for Reinforced Concrete. Tech. Rep. 93-02, Univ. Toronto, dept. Civil Eng., Toronto, Canada, 1993
- 4) VECCHIO, F. j., AND COLLINS, M. P.: Compression of cracked reinforced concrete. J. Str. Eng., ASCE 119, pp.3590-3610, Dec.1993
- Hikaru NAKAMURA, Tekeshi HIGAI: Compressive Fracture Energy and Fracture Zone Length of Concrete, Modeling of Inelastic Behavior of RC Structures under Seismic Loads, ASCE, pp.471-487,2001
- 島弘,周礼良,岡村甫:マッシブなコンクリートに 埋め込まれた異形鉄筋の付着応力すべりひずみ関 係, 土木学会論文集, No.378/V-6, pp.165-174, 1987.2